Date: 03/05/2016 Page: 1/6 Responsable : FLÉJOU Jean-Luc Clé: V3.01.100 Révision

4112d8d888d0

SSLL100 - Structure symétrique de poutres avec un coude

Résumé:

Ce test en statique, élasticité linéaire permet de valider les éléments de poutre droites en flexion plane, ainsi que les éléments discrets. Quatre chargements sont définis, dont certains en repère local.

La solution de référence est issue du dossier de validation du code POUX (sauf pour le cas de chargement 5 où il s'agit de non-régression). Les résultats obtenus avec Code_Aster sont assez proches de la référence, écart de l'ordre de 3%.

Responsable: FLÉJOU Jean-Luc

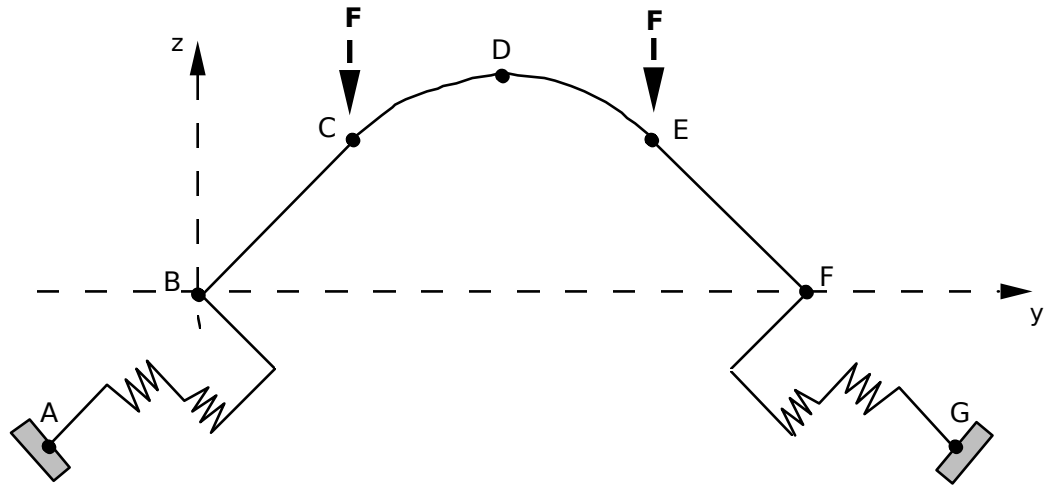
Date: 03/05/2016 Page: 2/6 Clé: V3.01.100

Révision

4112d8d888d0

Problème de référence

1.1 Géométrie



Structure plane symétrique par rapport à la droite y=4.

Poutres de section

circulaire

diamètre extérieur diamètre intérieur

 $de = 0.04 \, m$

 $di = 0.01 \, m$

Coude

de centre

(y=4 z=0)

et de rayon = $2\sqrt{2} m$

Liaison nœud-nœud

 $Kx = Kz = 10^5 N/m$

dans le repère local

Coordonnées des points (en m):

	A	В	C	D	E	F	G			
х	0.	0.	0.	0.	0.	0.	0.			
y	-2 .	0.	2.	4.	6.	8.	10.			
Z	-2 .	0.	2.	$2\sqrt{2}$	2.	0.	-2 .			

1.2 Propriétés de matériaux

Module d'Young: $E = 2.1 \cdot 10^{11} Pa$ Coefficient de Poisson: v = 0.3Masse volumique: $\rho = 7800 \text{ kg/m}^3$

Coefficient de dilatation thermique: $\alpha = 10^{-6} m/^{\circ} C$

1.3 Conditions aux limites et chargements

Points A et G encastrés

(v=w=0)

(sauf pour le cas de charge 2)

Chargement:

1) charge concentrée en C et E

 $F = 1000 \, N$

2) déplacement imposé en A et G

 $Dx = \sqrt{2}$ en repère local des mailles AB et GF

3) dilatation thermique à $t=100 \,^{\circ} C$

4) poids propre

5) matériau dépendant de T

Responsable : FLÉJOU Jean-Luc

Date : 03/05/2016 Page : 3/6 Clé : V3.01.100 Révision

Révision 4112d8d888d0

2 Solution de référence

2.1 Méthode de calcul utilisée pour la solution de référence

La solution de référence est celle donnée dans la fiche de validation STA.MPACO/B du code POUX de EDF R&D [bib1], sauf pour le cas de chargement 5 où il s'agit de non-régression.

2.2 Résultats de référence

Déplacements des points B , C et D .

2.3 Incertitude sur la solution

• modélisation B: quelques % (solution numérique fonction de la discrétisation).

2.4 Références bibliographiques

 Code de calcul de structures de poutre POUX. Fiche de validation du module EFPOU MPACO/B -Direction des Etudes et Recherches E.D.F (1988)

Responsable : FLÉJOU Jean-Luc

Date: 03/05/2016 Page: 4/6 Clé: V3.01.100 Révision

Révision 4112d8d888d0

3 Modélisation B

3.1 Caractéristiques de la modélisation

L'arc de poutre a été modélisé en une ligne polygonale de $2\times20~$ SEG2 .

```
Conditions limites:
       DDL_IMPO= _F(GROUP_NO='Npoutre', DX= 0.0, DRY= 0.0, DRZ= 0.)
                  F(NOEUD=('A','G),
                                           DX = 0.0, DY = 0.0, DZ = 0.)
sauf pour cas de charge 2
                      (NOEUD='A',
                                         DX = 0.0, DY = 1.0, DZ = 1.0)
                                          DX = 0.0, DY = -1.0, DZ = 1.0)
                      (NOEUD='G',
cas de charge 1
       FORCE NODALE= F(NOEUD=('C','D'), Fz = -1000.0)
cas de charge 3 : Chargement en température via la commande AFFE MATERIAU
       AFFE VARC= F(NOM VARC='TEMP', VALE REF=0., EVOL=TEMP,
                     TOUT='OUI', NOM CHAM='TEMP',),)
cas de charge 4
   PESANTEUR= F(GRAVITE=9.81,
                  DIRECTION = (0., 0., -1.))
```

Nom des nœuds : A, B, C, D, E, F

3.2 Caractéristiques du maillage

Nombre de nœuds : 45

Nombre de mailles et types : 44 SEG2

Responsable : FLÉJOU Jean-Luc

Date : 03/05/2016 Page : 5/6 Clé : V3.01.100 Révision

4112d8d888d0

3.3 Grandeurs testées et résultats

Cas	Point	déplacement (<i>m</i>)	Référence	Aster	%diff	tolérance
	В	$v_{\scriptscriptstyle B}$	-8.120E-3	-8.1209E-3	0.01	1.E-3
1		$w_{\scriptscriptstyle B}$	-1.000E-2	-1.0000E-2	0.00	
Forces	C	$v_{\scriptscriptstyle C}$	7.389E-3	7.3863E-3	-0.04	
nodales	D	$w_{\scriptscriptstyle D}$	-2.553E-2	-2.5528E-2	-0.01	
	B	v_B	9.858E-1	9.8585E-1	-0.00	1.E-3
2		${\cal W}_B$	1.000	1.0000	-0.00	
Déplacement	C	$v_{\scriptscriptstyle C}$	1.738E-1	1.7374E-1	-0.04	
imposé	D	$w_{\scriptscriptstyle D}$	1.812	1.8121	0.	
	В	$v_{\scriptscriptstyle B}$	-5.660E-6	-5.6612E-6	0.02	1.E-3
3		${\cal W}_B$				
Dilatation	C	$v_{\scriptscriptstyle C}$	-1.305E-4	-1.3051E-4	0.01	
	D	$w_{\scriptscriptstyle D}$	5.248E-4	5.2484E-4	0.01	
	D		0.4445.0	0.44455.0	0.44	5 5 0
_	B	$v_{\scriptscriptstyle B}$	-3.111E-3	-3.1145E-3	0.11	5.E-3
4		${\cal W}_B$	-4.552E-3	-4.5521E-3	0.00	
Pesanteur	C	v_{C}	1.180E-3	1.1409E-3	-3.31	5.E-2
	D	$w_{\scriptscriptstyle D}$	-8.850E-3	-8.8148E-3	-0.40	5.E-3

3.4 Remarques

La modélisation du coude par des éléments droits nécessite un maillage très fin, pour une précision suffisante (notamment pour un chargement réparti).

Version default

Titre : SSLL100 - Structure symétrique de poutres avec un [...]

Responsable : FLÉJOU Jean-Luc

Date : 03/05/2016 Page : 6/6 Clé : V3.01.100 Révision

Révision 4112d8d888d0

4 Synthèse des résultats

Les résultats obtenus avec *Code_Aster* coïncident bien avec ceux du code POUX (solution de référence).

Pour la modélisation B, ils sont très proches ($<4.0\,10^{-4}$) sauf pour le cas de charge de pesanteur, $3\,\%$ d'écart au maximum, à cause de la dépendance de la solution à la finesse de discrétisation.